

bent over jet の 1 次元解析

山口大学工学部 正員 羽田野 裕義
 山口大学工学部 正員 斎藤 隆
 山口大学工学部 学生員 ○秋田伸治

1. 序

流れの中に流体が噴流として放出される現象は、煙突からの煙、産業排水の放出などにみられ、その挙動を精度よく予測することは環境問題に関連し強く望まれている。従来連行モデルを用いた解析法がいくつか提案されているが、その適合性は十分とはい難い。今回、この流れに特有な 2 個の反対回転の渦による連行を解析に反映させ、種々の放出角度の場合に対して適合しうる結果を得たので、ここに報告する。

2. 理論

図-1 および 2 に示す 1 次元モデルで考える。噴流は cross flow による圧力抵抗と連行により軌道を曲げるものと考えられる。基礎式は、連続の式、および運動量の、外部流と直角方向および平行な方向の成分の収支式で、それぞれ式(1)、(2)および(3)となる。

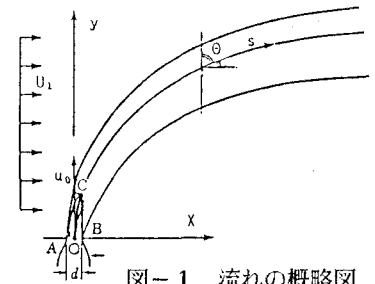
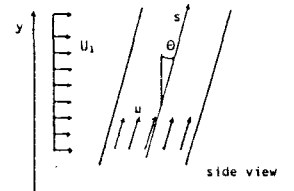


図-1 流れの概略図

$$\frac{d}{ds} (a u) = Qe \quad (1)$$

$$\frac{d}{ds} (\beta a u^2 \cos \theta) = 0 \quad (2)$$

$$\frac{d}{ds} (\beta a u^2 \sin \theta) = Qe U_1 + C_d U_1^2 / \cos \theta \quad (3)$$



ここに、 a は噴流断面積、 u は断面平均速度、 θ は噴流軸方向角、 s は噴流軸に沿ってとった距離、 l は噴流幅、 C_d は抗力係数、 Qe は s の単位長さ当たりの連行流量である。

上 3 式を、 da/ds 、 du/ds 、および $d\theta/ds$ について解き、出口の直径 d 、出口流速 u_e 、出口断面積 a_e を用いて無次元化すると式(4)～(6)となり、噴流軸は式(7)で計算される。

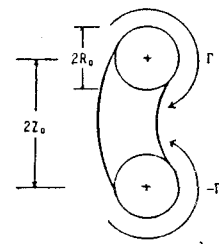


図-2 連行機構のモデル

$$\frac{da'}{ds} = \frac{4Qe}{\pi du_e} \cdot \frac{2}{u} - \frac{1}{\beta} \left(\frac{4Qe}{\pi du_e} + \frac{4Cd}{\pi} \right) \cdot \frac{lU_1^2}{du_e^2} \cos \theta - \frac{1}{u^2} \sin \theta \quad (4)$$

$$\frac{du'}{ds} = \frac{1}{\beta} \cdot \frac{1}{a'u'} \left(\frac{4Qe}{\pi du_e} \cdot \frac{U_1}{u_e} + \frac{4Cd}{\pi} \right) \cdot \frac{lU_1^2}{du_e^2} \cos \theta - \frac{4Qe}{\pi du_e} \cdot \frac{1}{a} \quad (5)$$

$$\frac{d\theta}{ds} = \frac{1}{\beta} \cdot \frac{1}{a'u'^2} \left(\frac{4Qe}{\pi du_e} \cdot \frac{U_1}{u_e} + \frac{4Cd}{\pi} \right) \cdot \frac{lU_1^2}{du_e^2} \cos \theta \quad (6)$$

$$\text{および } x/d = \int \sin \theta ds, \quad y/d = \int \cos \theta ds \quad (7)$$

2 個の反対回転の渦による連行は図-2 のモデルにより評価する。噴流軸に沿ってとった長さ s の微小量 ds の区間において片方の渦が連行する流量 $1/2Qe ds$ は渦の強さを Γ とすれば、

$$ds \int_{R_0}^{Z_0} v(r) dr = \frac{\Gamma}{2\pi} \log \frac{2Z_0}{R_0} ds \quad (8)$$

また、 Γ は噴流断面周辺部におけるせん断により生じるから、噴流断面の長さのスケールをし、 k を定数として次式により評価される。
 $\Gamma = kL + U_i - u \sin \theta + L$ (9)
 L として噴流断面積の平方根を用いる。

次に、式(8)の Z_0 と R_0 の比率を、断面形状に関する従来の研究結果から算定する。図-3は、Rajaratnam¹⁾が整理したデータを再整理したものである。図より次式の関係が読みとれる。

$$\Delta Z / \Delta \xi_+ - 1 = 2.97 \sqrt{s / (\alpha^2 d)} \quad (10)$$

また、図-2と図-3の対比より次の対応関係を考えることができる。

$$2R_0 \approx \Delta \xi_+ ; 2(Z_0 + R_0) = \Delta Z \quad (11)$$

3. 計算結果

式(8)～(11)を式(4)～(6)に代入して計算を行ない既往の実験と比較した。図-4はPlatten Keffer²⁾の実験結果との比較の一例である。図には、Platten Kefferの連行関数を用いた計算結果も示されている。

なお、式(8)の評価法では次式

$$\log \left(\frac{2Z_0}{R_0} \right) < 0$$

を満足する出口近くの領域では連行量を評価できない。この難点を避けるため、式(8)を変形した次式を用いた。

$$Q_e = \frac{2Z_0/R_0}{(1+2Z_0/R_0)} + \frac{\Gamma}{\pi} \log (1 + 2Z_0/R_0) \quad (12)$$

図-4より、本連行モデルによる計算は、Platten Kefferの連行関数による計算よりも良好な一致を示している。

参考文献

- 1) N. Rajaratnam (1976); Turbulent Jets, Elsevier Scientific Publishing Company, Amsterdam.
- 2) J.L. Platten & J.F. Keffer (1971); Deflected turbulent jets, Trans. ASME, J. Appl. Mech.

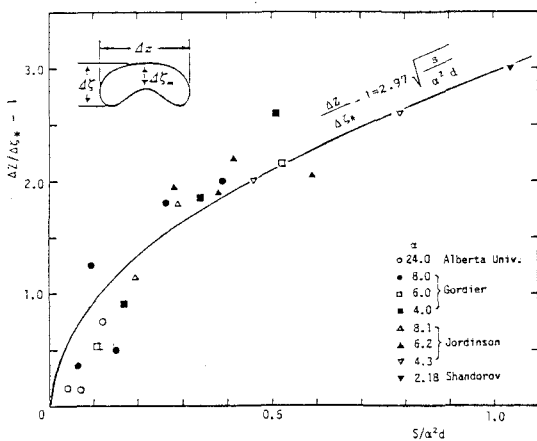


図-3 噴流断面形状の特性

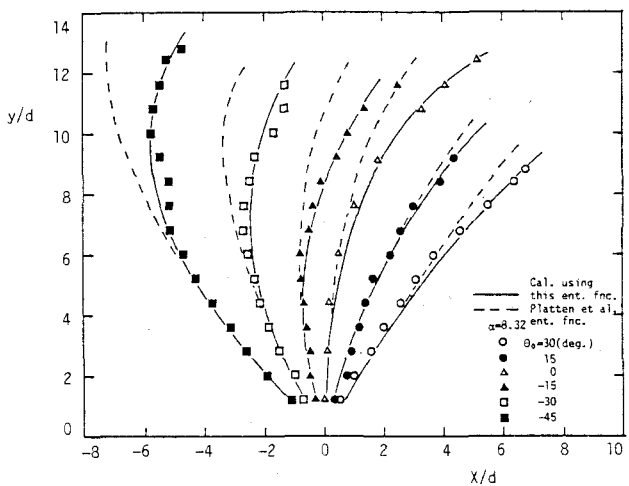


図-4 噴流軌道の実験値と計算値の比較